

# Pares de Ritz e Pares Harmônicos de Ritz

Luiz Mariano Carvalho

16 de maio de 2024

Discutiremos aproximações para autovalores das matrizes que aparecem durante a aplicação dos métodos iterativos para a solução dos sistemas lineares. Há uma vasta literatura sobre o tema, por exemplo [2, 4, 10, 12, 16].

Vamos apresentar, inicialmente, uma abordagem feita em [15], onde se considera que o **método de Rayleigh-Ritz** é o melhor para uma boa aproximação em um dado subespaço de autovalores de uma matriz real e simétrica. Baseando-se em [11, seção 11.4], os autores dizem que esse método comporta-se bem para o cálculo de autovalores exteriores e seus autovetores associados, mas que, no entanto, o mesmo não ocorre para autovalores interiores ao espectro da matriz [7, 9, 14]. Há estudos para se tentar ultrapassar os problemas com o cálculo dos autopares interiores e os autores citam os esforços feitos em [14] e, em particular, em [9], aonde a inversão do operador (no nosso caso da matriz) pode ser tratada implicitamente (veremos como, no Teorema 4). A proposta recebeu o nome de **método harmônico de Rayleigh-Ritz** em [12]. As aproximações, valores harmônicos de Ritz, correspondentes a esse método têm recebido considerável atenção dada a sua ligação com polinômios de métodos iterativos para sistemas lineares baseados no resíduo minimal.

## 1 Três resultados clássicos

Vamos introduzir três resultados que discutem autovalores pelo viés da otimização. Segundo C. Meyer em [8, pág. 651], se  $V$  é uma matriz  $m \times k$ , com  $k < m$ , com colunas ortonormais (por exemplo, no processo de Arnoldi surge uma matriz como essa), então  $V^H A V = H$  não é uma transformação de similaridade<sup>1</sup>, logo seria errado concluir que os autovalores de  $A$  são iguais aos autovalores de  $H$ . Apesar disso, é comum que os autovalores de  $H$  sejam uma boa aproximação para os autovalores extremos de  $A$ , em particular quando  $A$  é hermitiana. Veremos uma motivação dessa possibilidade, nos próximos teoremas. Lembremo-nos que, por serem reais, os autovalores de uma matriz hermitiana são ordenáveis,  $\lambda_1 \geq \lambda_2 \geq \dots \geq \lambda_m$ .

---

<sup>1</sup>Duas matrizes  $A$  e  $B$  de ordem  $m$  são similares se existe  $S$ , de ordem  $m$  e não singular tal que  $A = S^{-1}BS$ .

**Teorema 1** (Teorema de Rayleigh-Ritz). *Sejam  $\lambda_1$  o maior autovalor de  $A \in \mathbb{C}^{m \times m}$ , matriz hermitiana, e  $\lambda_m$  o menor. Então*

$$\lambda_{\max} = \lambda_1 = \max_{\|x\|_2=1} x^H A x = \max_{x \neq 0} \frac{x^H A x}{x^H x} \quad (1)$$

$$\lambda_{\min} = \lambda_m = \min_{\|x\|_2=1} x^H A x = \min_{x \neq 0} \frac{x^H A x}{x^H x}. \quad (2)$$

**Observação 1.** *Essa forma de definir autovalores é denominada **formulação variacional** e os quocientes que aparecem no Teorema 1 recebem o nome de **quocientes de Rayleigh-Ritz**.*

Vamos apresentar um resultado que estende essa caracterização para todos os demais autovalores de uma matriz hermitiana.

**Teorema 2** (Teorema de Courant-Fischer). *Os autovalores  $\lambda_1 \geq \lambda_2 \geq \dots \geq \lambda_m$  de uma matriz hermitiana  $A \in \mathbb{C}^{m \times m}$  são*

$$\lambda_i = \max_{\dim \mathcal{V}=i} \min_{\substack{x \in \mathcal{V} \\ \|x\|_2=1}} x^H A x \quad e \quad \lambda_i = \min_{\dim \mathcal{V}=m-i+1} \max_{\substack{x \in \mathcal{V} \\ \|x\|_2=1}} x^H A x.$$

A demonstração desse teorema clássico, que é baseada, assim como a do teorema de Rayleigh-Ritz, na decomposição espectral de uma matriz hermitiana, pode ser vista em [6, pág. 179] ou [8, pág. 550].

**Observação 2.** *No caso em que  $i = m$  a formulação max min reduz-se à apresentada em (2), quando  $i = 1$  a formulação min max torna-se igual a (1).*

O próximo teorema é uma aplicação do teorema de Courant-Fischer e fornece informações sobre autovalores de matrizes relacionadas por transformações unitárias ou ortogonais.

**Teorema 3** (Teorema de Entrelaçamento [17, pág. 42]). *Sejam  $A \in \mathbb{C}^{m \times m}$ , hermitiana, com autovalores  $\lambda_{\max} = \lambda_1 \geq \lambda_2 \geq \dots \geq \lambda_m = \lambda_{\min}$  e  $U \in \mathbb{C}^{m \times n}$  com colunas ortonormais. Temos  $U^H A U$  e seus autovalores  $\mu_{\max} = \mu_1 \geq \mu_2 \geq \dots \geq \mu_n = \mu_{\min}$ . Então*

$$\lambda_i \geq \mu_i \geq \lambda_{m-n+1}, \quad i = 1 : n.$$

*Esse resultado recebe o nome de teorema de entrelaçamento porque caso  $n = m - 1$  então*

$$\lambda_1 \geq \mu_1 \geq \lambda_2 \geq \mu_2 \geq \dots \lambda_{m-1} \geq \mu_{m-1} \geq \lambda_m,$$

*ou seja, os autovalores da matrizes são entrelaçados pelos autovalores aproximados. Caso  $U$  seja uma matriz identidade de ordem menor do que  $m$  então  $U^H A U$  é uma submatriz principal de  $A$ , e esse resultado é válido também para submatrizes principais.*

## 2 Pares de Ritz

A seguir vamos caracterizar aproximações de autovalores e autovetores da matriz  $A$ , associada a um sistema linear. As caracterizações seguintes servem para matrizes quaisquer e não apenas para matrizes hermitianas, como os teoremas anteriores.

**Definição 1** (Par de Ritz). *Para qualquer subespaço  $\mathcal{S} \subset \mathbb{C}^m$ , um vetor  $x \in \mathcal{S}$ , com  $x \neq 0$ , é um **vetor de Ritz** da matriz  $A \in \mathbb{C}^{m \times m}$  associado ao **valor de Ritz**  $\theta \in \mathbb{C}$ , se*

$$w^H(Ax - \theta x) = 0, \forall w \in \mathcal{S} \quad \text{ou} \quad Ax - \theta x \perp \mathcal{S} \quad (3)$$

$(x, \theta) \in \mathcal{S} \times \mathbb{C}$  é chamado **par de Ritz**.

Uma representação gráfica de um par de Ritz pode ser vista na Figura 1.

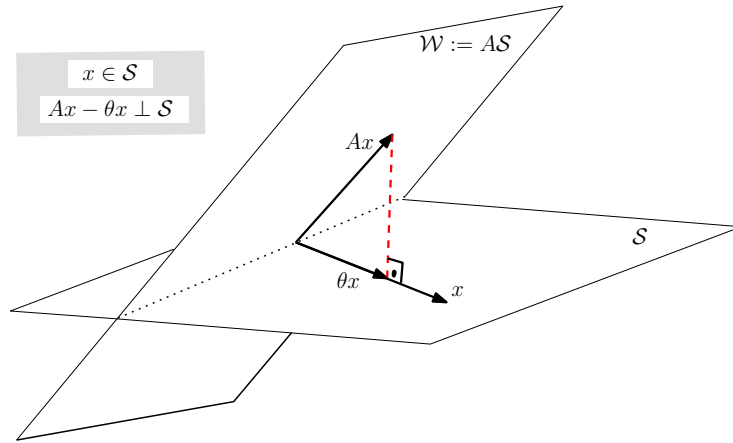


Figura 1: Representação esquemática de um par de Ritz.

**Observação 3.** Usando a notação da Definição 1, sejam  $V \in \mathbb{C}^{m \times n}$  uma matriz cujas colunas são ortonormais ( $V^H V = I \in \mathbb{C}^{n \times n}$ ) e  $\mathcal{S} := \text{Im}(V)$ . Sejam  $v \in \mathbb{C}^n$ ,  $z \in \mathbb{C}^n$ ,  $x = Vv$  e  $w = Vz$ . A equação (3) pode ser escrita:

$$z^H(V^H A V v - \theta v) = 0, \forall z \in \mathbb{C}^n, \quad (4)$$

que se torna um problema padrão de cálculo de autovalores

$$V^H A V v = \theta v, \quad (5)$$

onde  $x = Vv$ , com  $v \in \mathbb{C}^n$  e  $x \in \mathbb{C}^m$ , ou seja,  $v$  é a representação do vetor de Ritz  $x$  na base  $\{v_1, v_2, \dots, v_n\}$ .

A Observação 3 nos permite fazer uma conexão entre a formulação variacional de Rayleigh-Ritz e o cálculo de um par de Ritz. Da equação (5) temos que

$$v^H V^H A V v = \theta v^H v \Rightarrow \theta = \frac{x^H A x}{x^H x}.$$

Vale insistir que o Teorema 1 tem como hipótese a matriz ser hermitiana e essa hipótese não é necessária à definição dos valores de Ritz.

### 3 Pares de Ritz harmônicos

Vamos a uma nova definição, trata-se de uma adaptação do conceito de pares de Ritz para favorecer a análise de certos métodos de Krylov.

**Definição 2** (Valor Harmônico de Ritz [12]). *Seja  $\mathcal{S} \subset \mathbb{C}^m$ . O escalar  $\theta \in \mathbb{C}$  é um **valor harmônico de Ritz** de  $A$  em relação um dado espaço  $\mathcal{W} \subset \mathbb{C}^m$ , caso  $\theta^{-1}$  seja um valor de Ritz de  $A^{-1}$  com relação  $\mathcal{W} := A\mathcal{S}$ .*

Uma representação gráfica para essa definição pode ser vista na Figura 2. No entanto, usaremos uma outra formulação equivalente, proposta em [16], para

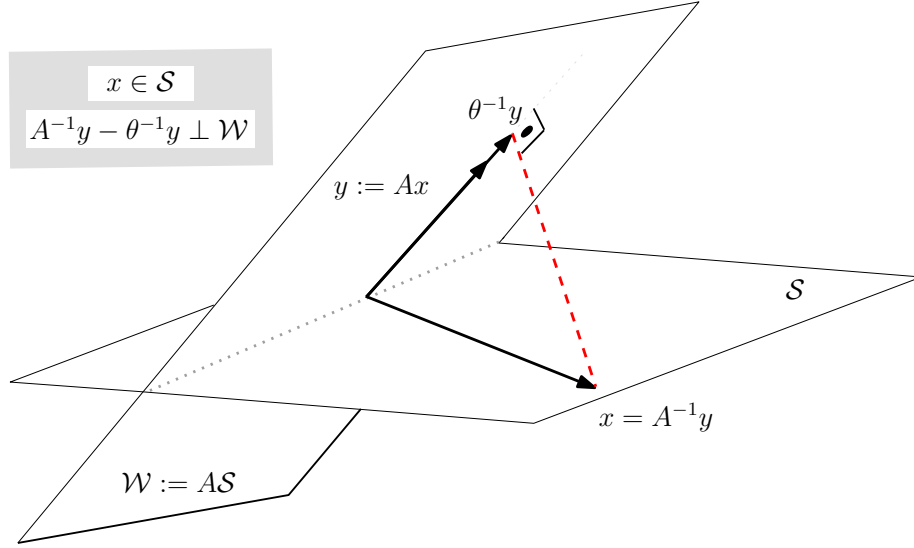


Figura 2: Representação esquemática de um par harmônico de Ritz usando a representação proposta na Definição 2.

os valores harmônicos de Ritz.

**Teorema 4** (Caracterização dos Pares Harmônicos de Ritz [16, Teorema 5.1, pág. 279]). *Sejam  $\mathcal{S} \subset \mathbb{C}^m$  e  $\mathcal{W} = \{y \in \mathbb{C}^m; \exists x \in \mathcal{S} \text{ tal que } y = Ax\}$ , ou seja,*

$\mathcal{W} := A\mathcal{S}$ , então  $\theta \in \mathbb{C}$  é um valor harmônico de Ritz de  $A$  em relação a  $\mathcal{W}$ , se e somente se,

$$w^H(Ax - \theta x) = 0, \forall w \in \mathcal{W}, \text{ para algum } x \in \mathcal{S}, x \neq 0. \quad (6)$$

Denominaremos  $x \in \mathcal{S}$  de **vetor harmônico de Ritz** associado a  $\theta$ , e  $(x, \theta) \in \mathcal{S} \times \mathbb{C}$  de **par harmônico de Ritz**. Uma representação gráfica para essa caracterização pode ser vista na figura 3.

Demonstração: Pelas Definições em 1 e 2, para  $\theta$  ser um valor harmônico de Ritz de  $A$  em relação a  $\mathcal{W}$ , existem  $y \neq 0 \in \mathcal{W}$  e  $\theta \in \mathbb{C}$  tais que

$$w^H(A^{-1}y - \theta^{-1}y) = 0, \forall w \in \mathcal{W}, y \in \mathcal{W}, y \neq 0.$$

Basta apenas desenvolver para  $y = Ax$ , uma vez que  $\mathcal{W} := A\mathcal{S}$

$$w^H(A^{-1}Ax - \theta^{-1}Ax) = 0 \Leftrightarrow \theta^{-1}w^H(\theta x - Ax) = 0 \Leftrightarrow w^H(\theta x - Ax) = 0.$$

■

É interessante observar que, no caso real, a equivalência entre as duas formulações de pares harmônicos de Ritz são simples relações de semelhança de triângulos retângulos, onde as hipotenusas são  $x = A^{-1}y$ , com  $y \in \mathcal{W}$ ,  $y \neq 0$ , quando usamos a Definição 2, e  $\theta x$ , quando lançamos mão da caracterização proveniente do Teorema 4, ver Figura 4.

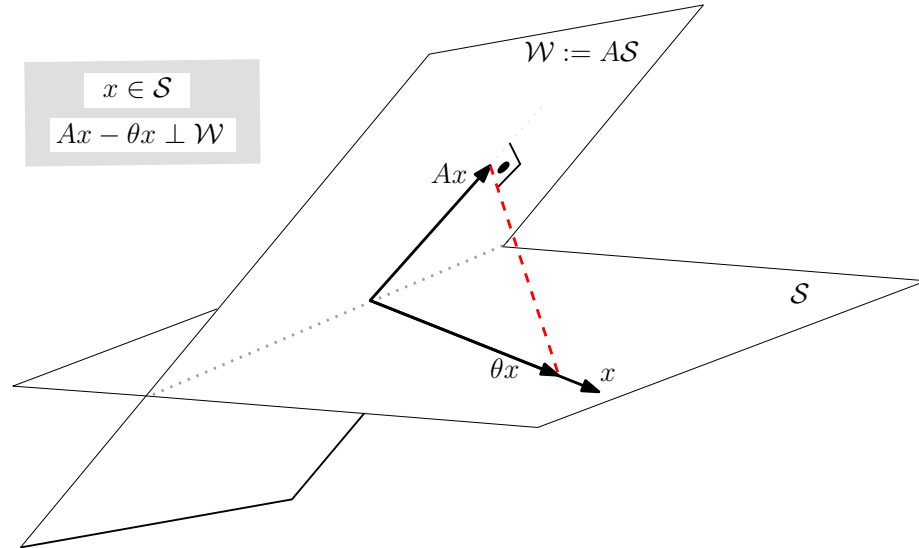


Figura 3: Representação esquemática de um par harmônico de Ritz usando a representação proposta no Teorema 4.

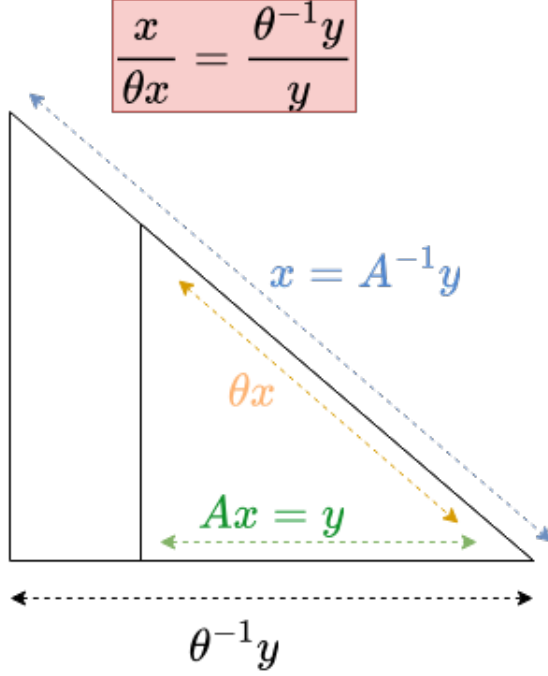


Figura 4: Relações em um triângulo retângulo das representações de um par harmônico de Ritz usando a Definição 2 e o Teorema 4. Ver Figuras 2 e 3.

**Observação 4.** Usando a notação do Teorema 4, sejam  $V \in \mathbb{C}^{m \times n}$  uma matriz cujas as colunas são ortonormais,  $V^H V = I \in \mathbb{C}^{n \times n}$  e  $\mathcal{S} := \text{Im}(V)$ . Sejam  $\chi \in \mathbb{C}^n$ ,  $z \in \mathbb{C}^n$ ,  $x = V\chi$  e  $w = AVz$ . A equação (6) pode ser escrita como:

$$z^H (V^H A^H AV\chi - \theta V^H A^H V\chi) = 0, \forall z \in \mathbb{C}^n, \quad (7)$$

levando a um problema generalizado de autovalores:

$$V^H A^H AV\chi = \theta V^H A^H V\chi. \quad (8)$$

Caso  $V^H A^H V$  seja uma matriz não singular, esse problema torna-se um problema de autovalores:

$$\left( V^H A^H V \right)^{-1} V^H A^H AV\chi = \theta \chi. \quad (9)$$

A Observação 4 nos permite fazer a conexão entre uma variante da formulação variacional de Rayleigh-Ritz e o cálculo de um par harmônico de Ritz. Senão vejamos: da equação (8) temos que

$$\chi^H V^H A^H AV\chi = \theta \chi^H V^H A^H V\chi \Rightarrow \theta = \frac{(Ax)^H Ax}{(Ax)^H x}.$$

Aqui, novamente, vale o esclarecimento de que o Teorema 1 tem como hipótese a matriz ser hermitiana; hipótese desnecessária à definição dos valores harmônicos de Ritz.

Os pares Ritz e os pares harmônicos Ritz, e algumas de suas variações [2], são bastante utilizados nos métodos iterativos para cálculo de autovalores, ver [1]. Para matrizes hermitianas e para matrizes que não estejam muito longe de serem normais, o comportamento dos autovalores e de suas aproximações ajudam a compreender o histórico da convergência de alguns métodos de Krylov [3], [5]. Com isso, os métodos de Krylov, quando aplicados à solução de um sistema linear, podem fazer uso de aproximações de autovalores, que estão implícitas, como veremos a seguir. A princípio, o GMRES com recomeço desconsidera a maior parte da informação guardada durante a iteração anterior.

O teorema a seguir mostra a transformação do problema de cálculo de pares harmônicos de Ritz apresentado em (8) em um bem mais simples e demonstra uma propriedade relevante de ortogonalidade dos pares harmônicos de Ritz.

**Teorema 5.** *Seja  $V$  uma matriz cujas as colunas formam uma base ortonormal para  $\mathcal{K}^{k+1}(A, r_0)$ . Suponhamos que o polinômio mínimo de  $r_0$  em relação a  $A$  tem grau maior que  $k + 1$ . Usando a notação do método de Arnoldi a equação para pares harmônicos de Ritz em (8) pode ser escrita como*

$$(H_k + h_{(k+1),k}^2 H_k^{-H} e_k e_k^T) \chi = \theta \chi. \quad (10)$$

Seja  $(x, \theta)$  um par harmônico de Ritz de  $A$  em relação a  $AK_k(A, r_0)$ , tal que  $x = V_k \chi$ , com  $\chi \in \mathbb{C}^k$ . Então vale a seguinte relação de ortogonalidade:

$$\overline{H}_k^H (\overline{H}_k \chi - \theta \begin{pmatrix} \chi \\ 0 \end{pmatrix}) = 0. \quad (11)$$

Demonstração:

$$V_k^H A^H A V_k \chi = \theta V_k^H A^H V_k \chi$$

usando uma das relações provenientes do método de Arnoldi,  $AV_k = V_{k+1} \overline{H}_k$ , temos

$$\overline{H}_k^H V_{k+1}^H V_{k+1} \overline{H}_k \chi = \theta \overline{H}_k^H V_{k+1}^H V_k \chi$$

como  $V_{k+1}$  é ortogonal, podemos simplificar para

$$\overline{H}_k^H \overline{H}_k \chi = \theta \overline{H}_k^H \begin{pmatrix} I_{k \times k} \\ 0 \end{pmatrix} \chi \Rightarrow \overline{H}_k^H \overline{H}_k \chi = \theta H_k^H \chi \quad (12)$$

escrevendo a matriz  $\overline{H}_k$  em blocos, chegamos a

$$\begin{pmatrix} 0 \\ \vdots \\ H_k^H \\ 0 \\ h_{(k+1),k} \end{pmatrix} \begin{pmatrix} 0 & \dots & 0 & h_{(k+1),k} \end{pmatrix} = \theta H_k^H \chi$$

que pode ser simplificado para

$$(H_k^H H_k + h_{(k+1),k}^2 e_k e_k^T) \chi = \theta H_k^H \chi$$

como podemos assumir que  $H_k$  é não singular, graças à hipótese sobre o grau do polinômio mínimo de  $r_0$  em relação à  $A$ , então

$$(H_k + h_{(k+1),k}^2 H_k^{-H} e_k e_k^T) \chi = \theta \chi.$$

Provando a relação (10).

Partindo da equação (12)

$$\overline{H}_k^H \overline{H}_k \chi = \theta \overline{H}_k^H \begin{pmatrix} I_{k \times k} \\ 0 \end{pmatrix} \chi$$

com uma simples reorganização, temos

$$\overline{H}_k^H (\overline{H}_k \chi - \theta \begin{pmatrix} \chi \\ 0 \end{pmatrix}) = 0.$$

■

Cabe observar que o teorema anterior está fortemente ancorado no uso do método de Arnoldi para ortogonalização da matriz de Krylov.

O próximo teorema relaciona os resíduos dos cálculos dos valores harmônicos de Ritz com o resíduo de uma dada iteração do GMRES, ver [10].

**Teorema 6.** *Sejam  $\overline{H}_k$  e  $(\beta e_1 - \overline{H}_k y_k)$  provenientes do algoritmo do GMRES e sejam  $(x_i, \theta_i)$  pares harmônicos de Ritz de  $A$  em relação a  $AK_k(A, r_0)$ , tal que  $x_i = V_k \chi_i$ , com  $\chi_i \in \mathbb{C}^k$ . Suponhamos que o polinômio mínimo de  $r_0$  em relação a  $A$  tem grau maior que  $k + 1$ . Então*

$$\overline{H}_k \chi_i - \theta_i \begin{pmatrix} \chi_i \\ 0 \end{pmatrix} = \alpha_i (\beta e_1 - \overline{H}_k y_k), \quad (13)$$

com  $\alpha_i$  escalares.

Demonstração: Pelo resultado encontrado em [13, corolário 1.39 do teorema 1.38, pág. 36], temos que  $\beta e_1 - \overline{H}_k y_k$  é ortogonal a  $\overline{H}_k y$ ,  $\forall y \in \mathbb{C}^k$ , onde

$$y_k = \arg \min_{y \in \mathbb{C}^k} \|\beta e_1 - \overline{H}_k y\|_2.$$

Então

$$(\beta e_1 - \overline{H}_k y_k) \perp \text{Im}(\overline{H}_k).$$

Usando (11), podemos escrever que

$$(\overline{H}_k \chi_i - \theta_i \begin{pmatrix} \chi_i \\ 0 \end{pmatrix}) \perp \text{Im}(\overline{H}_k).$$



Logo ambos os vetores pertencem ao  $\text{Nuc}(\overline{H}_k)$ , mas pela hipótese sobre o grau do polinômio mínimo de  $r_0$  em relação a  $A$ ,  $H_k$  tem posto completo,  $\text{Nuc}(\overline{H}_k)$  tem dimensão 1, e

$$(\beta e_1 - \overline{H}_k y_k) \text{ é paralelo a } (\overline{H}_k \chi_i - \lambda_i \begin{pmatrix} \chi_i \\ 0 \end{pmatrix}).$$

■

## Referências

- [1] Z. Bai, J. Demmel, J. Dongarra, A. Ruhe, and H. van der Vorst, editors. *Templates for the solution of Algebraic Eigenvalue Problems: A Practical Guide*. SIAM, Philadelphia, 2000.
- [2] C. Beattie. Harmonic Ritz and Lehman bounds. *ETNA*, 7:18–39, 1998.
- [3] J. K. Cullum. Iterative methods for solving  $Ax = b$  GMRES-FOM versus QMR/BiCG. Technical Report TR-96-2, Institute for Advances Studies, University of Maryland, 1996.
- [4] S. Goossens and D. Roose. Ritz and harmonic Ritz values and the convergence of FOM and GMRES. *Numerical linear algebra with applications*, 6(4):281–293, 1999.
- [5] A. Greenbaum, V. Pták, and Z. Strakoš. Any nonincreasing convergence curve is possible for GMRES. *SIAM Journal on Matrix Analysis and Applications*, 17(3):465–469, July 1996.
- [6] R. A. Horn and C. R. Johnson. *Matrix Analysis*. Cambridge University Press, 1987.
- [7] Z. Jia and G. W. Stewart. An analysis of the Rayleigh-Ritz method for approximating eigenspaces. *Mathematics of Computation*, 70(234):637–647, 2001.
- [8] C. D. Meyer. *Matrix analysis and applied linear algebra*. SIAM, 2000.
- [9] R. B. Morgan. Computing interior eigenvalues of large matrices. *Lin. Alg. and Its Applic.*, 154/156:289–309, 1991.
- [10] R. B. Morgan. Implicitly restarted GMRES and Arnoldi methods for nonsymmetric systems of equations. *SIAM Journal on Matrix Analysis and Applications*, 21(4):1112–1135, 2000.
- [11] B. N. Parlett. *The symmetric eigenvalue problem*. SIAM, Philadelphia, 1998. Corrected reprint of the 1980 original.

- [12] C. C. Paige, B. N. Parlett, and H. A. van der Vorst. Approximate solutions and eigenvalue bounds from Krylov subspaces. *Numerical Linear Algebra with Applications*, 2(2):115 – 133, 1995.
- [13] Y. Saad. *Iterative Methods for Sparse Linear Systems*. SIAM, 2nd edition, 2003.
- [14] D. S. Scott. The advantages of inverted operators in Rayleigh–Ritz approximations. *SIAM Journal on Scientific and Statistical Computing*, 3(1):68–75, 1982.
- [15] G. L. G. Sleijpen and J. van den Eshof. On the use of harmonic Ritz pairs in approximating internal eigenpairs. *Linear Algebra and its Applications*, 358(1-3):115–137, January 2003.
- [16] G. L. G. Sleijpen and H. A. van der Vorst. A Jacobi–Davidson iteration method for linear eigenvalue problems. *SIAM Review*, 42(2):267–293, 2000. This paper originally appeared in *SIAM Journal on Matrix Analysis and Applications*, Volume 17, Number 2, 1996, pages 401-425.
- [17] G. W. Stewart. *Matrix Algorithms. Volume II: Eigensystems*. SIAM, 2001.